

建設省土木研究所 正会員 千野 啓次
 " 正会員 光家 康夫
 " 正会員 塩井 幸武

1. 概要

矢板式基礎は仮縫切工を兼用できるため、施工上の経済性に優れ、多柱式基礎と共に水中基礎としての使用頻度が高まっている。しかし、ハイブリッドの中間的性状を有する矢板式基礎の動的挙動については未知の点が多い非常に多いといえる。そこで矢板式基礎の細長比、矢板継手部の剛度および地盤と鋼管矢板との界面摩擦（粘性抵抗）に着目し、それら諸要素が地震応答に与える影響を設計計算を実施し明らかにした。設計計算には、土木研究所において開発した継手剛性を考慮できる多質点系モデルに、実地震波を入力として応答を求めた。

2. 研究手法

解析に用いた基礎モデルは、円形断面の一重矢板式基礎で、井筒径 $D = 15\text{m}$ 、鋼管は外径 $\phi = 1000\text{mm}$ 、肉厚 15mm 、継手管は外径 $\phi = 165\text{mm}$ 、肉厚 11mm とした。細長比 $D/L = 0.25, 0.5, 0.75$ の3種類とし、モデルA、B、Cとした。

鋼管矢板を結ぶ継手のせん断剛度 G_f は、実験より得られた $120000\text{t}/\text{cm}^2$ を 100% の値とし、 50% 、 10% 、 0% の4種類とした。井筒内部土圧についての扱いは大きさは問題ないといえるが、ここでは内部土全てが基礎に付加すると考え 100% 考慮した。基礎-地盤間水平バネ定数 (K_{hi}) は水平地盤反力係数より、底面の回転バネ定数 (K_m) は底面の鉛直地盤反力係数より、底面せん断バネ定数 (K_f) は地盤のせん断弹性係数より求めた。地盤と鋼管矢板との界面摩擦を流す、最大摩擦力 f_{max} と基準変位 S_0 を用いて割線摩擦係数 μ によりばね評価し、井筒深さ方向 Δz の輪切り要素において等価集中バネ K_{fi} および K_m に置換して表現した。 K_{fi} については、水平バネ定数 K_{hi} の $100\%、50\%、20\%、0\%$ の4種類をえた。ここで用いる地盤反力係数は、矢板式基礎の設計と施工指針 (S47. 矢板式基礎研究委員会) によって求めた。なお、入力地震波としては、観音崎地中 120m 地点で得られた加速度記録 (1971年12月に千葉県南部に発生した地震) の実最大加速度を 100gal に拡大して20秒間抽出して用いた。

3. 解析結果

図-2は K_f を K_{hi} の 0% および 50% と固定したとき、 G_f の $0\sim100\%$ に対して変位、表面力がどのように変化するかを示したものである。変位についてみると、どのモデルも $K_f = 50\%$ の場合の変位は $K_f = 0\%$ の変位より小さくなっている。これは、井筒の回転に伴って生ずる鉛直変位に対し、 K_f による鉛直方向拘束力が發揮された結果といえる。また、モデルB、Cの変位は G_f の増加により減少する傾向にあるが、モデルAについては若干増加しているのがわかる。これは矢板式基礎の剛性の違いというよりも、地盤と基礎の固有周期によつて異なる応答率の違いによるものと考えられる。静的解析では、細長比の大きい井筒では G_f の増加によって変位は減少するといわれているが、今回の検討により一概に結論することはできないといえる。加速度についてモデルA,B,Cについてみると、いずれも G_f の違いに対して大きく変化しているが、分布形状は比較的類似しているといえる。 K_f の考慮の有無に注目すると、 $K_f = 0\%$ の加速度に比べ $K_f = 50\%$ の加速度は減少しており G_f が大きいほど効果が

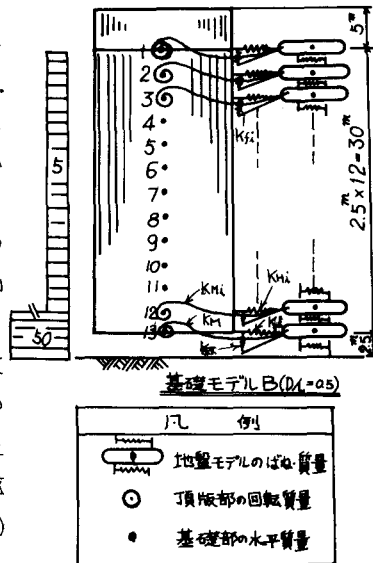


図-1 振動モデルの例

あるといえる。

矢板部における軸力についてみると K_f 、 G_T の増加は各モデルの軸力を大きく減少させる効果があるといえる。 K_f の効果を深さ方向について検討した結果、矢板軸力を基礎の全長に向かって減少させる効果があり、その減り方は脚部に向う程大きくなり、 K_f のヒリカ方向によつて軸力はかなり有利になることがわかる。同様のことを見つけてみると、 K_f によって逆に G_T の増加が軸力を大きくしている。このことは、群立的抵抗を示すケースから、矢板が一体とよつて剛体的挙動へと抵抗機構が変化するにあつて考えられる。抵抗曲げモーメントは、 G_T の増加により大きく減少するといえる。 K_f が曲げモーメントに与える影響についてみると変位、加速度軸力とは逆に K_f を考慮しないほうが小さな値となつている。

図-3 は、摩擦ばね導入効果を $K_f = 0\%$ における変位、断面力に対する比をとつて示したものである。 K_f の効果を容易に見ることができること。

図-4 は、モデルBの矢板応力分布を示したものである。矢板の頭部附近は K_f の効果が顕著に出でつゝいが、深くほんにあつて K_f が大きくなるほど応力が小さくなる傾向がわかる。

4.まとめ

- (1) G_T の増加により、矢板部の軸力は減少するが矢板先端については逆に増加する傾向にある。
- (2) K_f の導入は矢板軸力を減少させる効果があるので、妥当な範囲で導入することが合理的な設計につながると思われる。
- (3) 曲げモーメントは、矢板頭部において急激に増大するため設計時に特に注意を要する。
- (4) 重的解析における応答値と静的解析における応答値がどのように対応するか検討の必要がある。
- (5) K_f の数値の実用算定法について検討する必要がある。

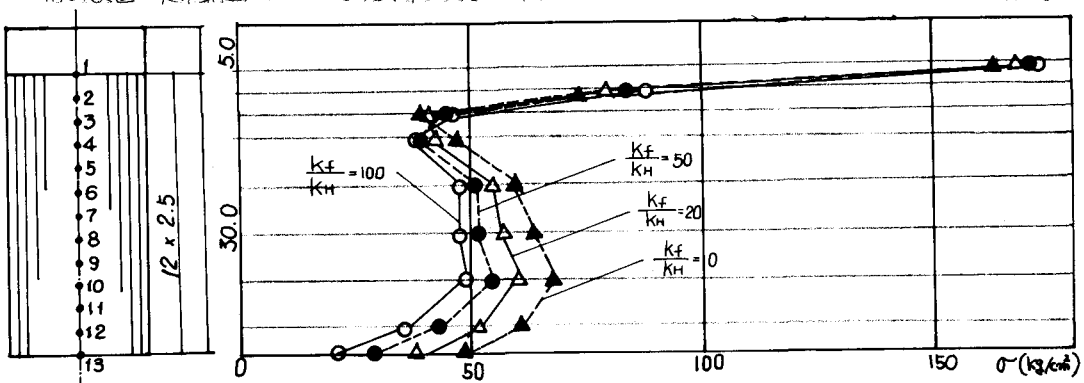


図-4 矢板応力分布 ($G_T = 12,000 \text{ t/m}^2$, $D/L = 0.5$)

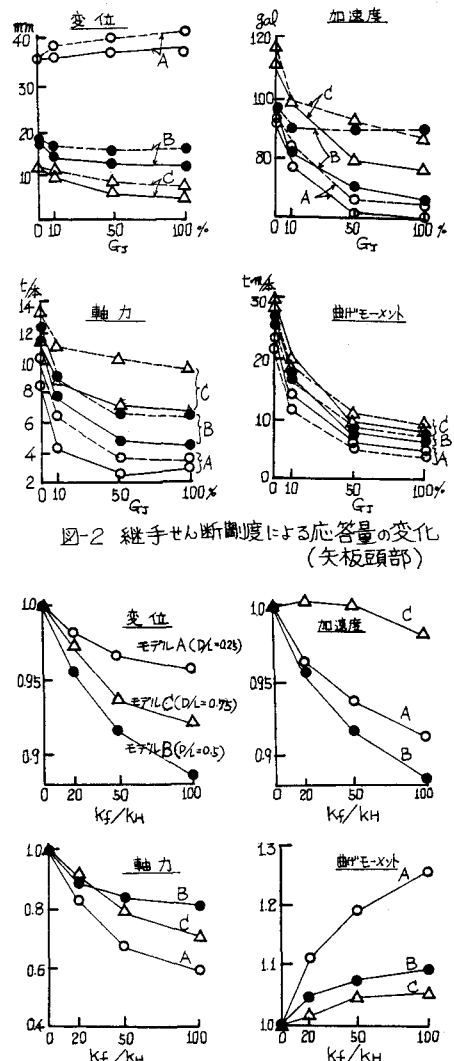


図-2 継手せん断剛度による応答量の変化
(矢板頭部)

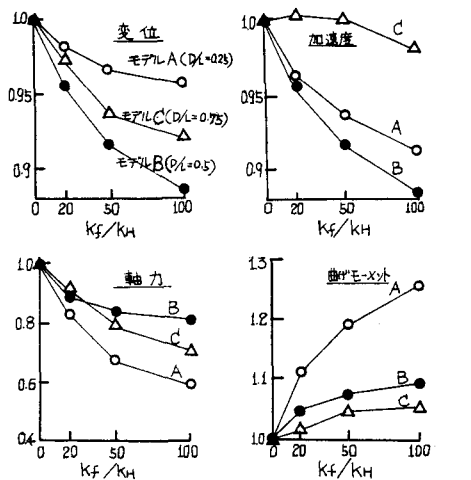


図-3 摩擦ばね導入による効果
($G_T = 12,000 \text{ t/m}^2$, $-- k_f = 50\%$, $- - k_f = 0\%$)